

ПРОБЛЕМЫ
ПАЛЕОНОТОЛОГИЧЕСКОГО ОБОСНОВАНИЯ
ДЕТАЛЬНОЙ СТРАТИГРАФИИ МЕЗОЗОЯ
СИБИРИ И ДАЛЬНЕГО ВОСТОКА

К II Международному коллоквиуму
по юрской системе
(Люксембург, июль, 1967 г.)

ИЗДАТЕЛЬСТВО «НАУКА»
ЛЕНИНГРАДСКОЕ ОТДЕЛЕНИЕ
Л е н и н г р а д · 1 9 6 7

INSTITUTE OF GEOLOGY AND GEOPHYSICS

PROBLEMS OF PALEONTOLOGIC
SUBSTANTIATION OF DETAILED
MEZOZOIC STRATIGRAPHY OF SIBERIA
AND THE FAR EAST OF USSR

For the II International Colloque of Jurassic
(Luxemburg, July, 1967)

PUBLISHING OFFICE «NAUKA»

Leningrad 1967

A. A. Дагис, A. C. Дагис

СТРАТИГРАФИЯ ТОАРСКИХ ОТЛОЖЕНИЙ ВИЛЮЙСКОЙ СИНЕКЛИЗЫ

Впервые тоарские отложения в Вилуйской впадине были установлены Г. Я. Крымгольцем в 1950 г. на основании переопределения коллекции С. С. Кузнецова, собранной в 1926 г. на р. Тюнг. Г. Я. Крымгольцем из «белемнито-ледовых» слоев С. С. Кузнецова (1929) были определены *Dactylioceras athleticum* Simps., ранее определявшиеся как *Perisphinctes davidsoni* Buckm. (Обручев, 1938) и *Dactylioceras gracile* Simps., которые впоследствии были монографически изучены и опубликованы (Крымгольц и др., 1953). Отложения этого яруса на р. Вилюе также впервые были установлены Г. Я. Крымгольцем (Крымгольц, Тазихин, 1957) в результате определения сборов Н. Н. Тазихина (1956 г.) и переопределения коллекции А. Г. Ржонсницкого (1918 г.). Эти исследования позволили установить на р. Вилюе аналоги слоев с *Dactylioceras* р. Тюнга (слои с *Dactylioceras suntarensis* Krimh., *D. gracile* Simps.), а также выделить еще один горизонт с аммонитами, занимающий более низкое стратиграфическое положение в пределах тоарского яруса — слои с *Osperleioceras viluiense* Krimh. (= *Ludwigia murchisonae* Sow. А. Г. Ржонсницкого). Оба горизонта с аммонитами, охватывающие по сути дела отложения всего верхнего лейаса на р. Вилюе, рассматривались Г. Я. Крымгольцем как аналоги средне-верхнетоарских отложений.

В дальнейшем отложения тоарского яруса детально изучались З. В. Кошелкиной (1961, 1962, 1963), которая на р. Вилюе также выделила слои с *Dactylioceras* и *Osperleioceras*, залегающие в обратной последовательности, по сравнению с указанной Г. Я. Крымгольцем и Н. Н. Тазихиным (1957, 1963). Схема расчленения тоара р. Вилюя З. В. Кошелкиной была принята в корреляционной схеме, разработанной стратиграфическим советцанием 1961 г. в Якутске.

В течение 1957—1963 гг. детальные исследования мезозойских отложений Вилуйской впадины проводились Т. И. Кириной (1964, 1966), которой были получены новые данные по стратиграфии тоарских отложений этого района. Т. И. Кириной была доказана ошибочность построений З. В. Кошелкиной и подтверждена точка зрения Г. Я. Крымгольца о последовательности слоев с аммонитами на р. Вилюе. На основании послойного изучения большого числа разрезов и их детальной корреляции, а также многочисленных новых находок аммонитов были прослежены аналоги слоев с *Osperleioceras* и слоев с *Dactylioceras* на рр. Мархе и Тюнге и выделены новые слои с аммонитами в пределах тоарского яруса, наиболее высокие по стратиграфическому положению, с *Pseudolioceras* spp. Помимо этого Т. И. Кириной были выделены отложения аалена с *Pseudolioceras m'clintocki* Haughton. В дополнение к спискам аммонитов, дан-

ным Г. Я. Крымгольцем для разных горизонтов тоара, Т. И. Кириной приведены *Harpoceras* sp.— для слоев с *Osperleioceras* — и *Dactylioceras mucronatum* Orb., *D. delicatum* Simps.— для слоев с *Dactylioceras*. Несмотря на обширные комплексы аммонитов, Т. И. Кирина не сделала попытки корреляции трех выделенных горизонтов с аммонитами с внутриярусными подразделениями тоарского яруса единой шкалы.

Авторами в 1964 г. были проведены исследования тоарских отложений по рр. Виллю и Мархе, в результате которых получены новые данные по стратиграфии и аммонитам тоара, позволяющие внести определенные корректизы в стратиграфию тоарского яруса Виллюской впадины, а также сделать наметки корреляции отдельных горизонтов, установленных предыдущими исследователями, с внутриярусными подразделениями тоарского яруса других районов Сибири и единой стратиграфической шкалы.

Ниже приведены основные разрезы тоарских отложений по рр. Виллю и Мархе. Предпочтение отдано разрезам, содержащим аммониты, на основании которых в дальнейшем будут рассмотрены вопросы расчленения и корреляции тоарских отложений.

I. Правый берег р. Виллю, ниже устья р. Илигир (нижние 5—7 м разреза приводятся по обнажению напротив о-ва Белесюек-Арытта):

1. На ржавых, сильно загипсованных песчаных глинах верхнеплинсбахского возраста залегает довольно мощная толща очень тонкослоистых, иногда листоватых зеленовато-серых глин с несколькими прослойками (или линзами) крупных известковых стяжений. В нижней части глины часто бурые и сильно загипсованные, трудно отличимые от верхнеплинсбахских отложений. На поверхности в основании толщи развиты линзы песков с обломками белемнитов, кусками древесины и редкой галькой. Fauna представлена преимущественно белемнитами *Acrocoelites dilbergensis* Kolb, *A. graciliformis* Kolb, *Passaloteuthis elongata* Mill., *P. apicicurvata* (Blainv.), *Brachybelus* sp.¹, приуроченными к основанию толщи. В верхней части глин редки *Leda acuminata* (Goldf.), *Tancredia* sp. Мощность 12—13 м.

2. Глины серые, с зеленоватым оттенком, без известковых стяжений, лишенные тонкой слоистости, с редкими линзами ракушняков, сложенных преимущественно *Leda acuminata* (Goldf.). Мощность 2.4 м.

3. Песчаники мелкозернистые с линзами песчанистых известняков и скоплениями *Leda acuminata* (Goldf.), *Modiolus* sp., *Tancredia* sp. Мощность 0.4—0.7 м.

4. Глины серые, песчанистые, с прослойками песков в верхней части. В основании прослой с фосфоритами, окатанными костями ихтиозавров, древесиной. Встречаются *Acrocoelites graciliformis* Kolb, *Passaloteuthis inaudita* Voron., *P. subinaudita* Voron., *P. viluiensis* Krimh., *Mesoteuthis attenuata* Ernst, *Leda acuminata* (Goldf.), *Tancredia stubendorffii* Schm. и др. Мощность 0.8 м.

5. Цепь известково-сидеритовых стяжений с *Passaloteuthis inaudita* Voron., *P. ex gr. viluensis* Krimh. Мощность 0.3—0.5 м.

6. Мелкозернистые пески, чередующиеся с глинами и прослойами ракушняков. Встречаются отдельные линзы с гравийными зернами и мелкой галькой, а также фосфоритами и окатанными костями ихтиозавров. Часты сидеритовые и известковые стяжения небольших размеров. В толще многочисленны белемниты *Passaloteuthis inaudita* Voron., *P. tolli* Pavl., *P. viluiense* Krimh., *Mesoteuthis attenuata* Ernst, *Acrocoelites dilbergensis* Kolb и др. и пелециподы *Leda acuminata* (Goldf.), *Modiola viluensis* Khud., *Oxytoma* sp., *Ostrea* sp. В прослое известковых стяжений в 1.3—1.5 м от основания слоя были встречены *Osperleioceras viluense* Krimh. (из этого прослоя стяжений, судя по всем данным, происходит и коллекция А. Г. Ржонсицкого, определенная Г. Я. Крымгольцем). Кроме того Т. И. Кириной указываются находки *Osperleioceras* sp. и *Harpoceras* sp. плохой сохранности из верхней части пачки. Мощность 3.5 м.

7. Глины серые, песчанистые, с прослойками песков и линзами ракушняков. Многочисленны белемниты *Acrocoelites dilbergensis* Kolb, *Passaloteuthis inaudita* Voron. и другие и пелециподы *Leda jacutica* Petr., *L. acuminata* (Goldf.), *Tancredia stubendorffii* Schm. и др. Т. И. Кириной из этого слоя указываются первые представители рода *Dactylioceras*. Мощность 4.5—4.8 м.

8. Глины серые, сильно выветрелые, ожелезненные, с двумя выдержаными прослойями серых известняков, содержащие редких аммонитов *Dactylioceras suntarense* Krimh., *D. commune* Sow., *Omolonoceras* sp. В глинах довольно часты белемниты *Pass-*

¹ Здесь и далее белемниты определены В. Н. Саксом и Т. И. Нальняевой, пелециподы — Л. С. Великжаниной.

lateuthis subinaudita Voron., *P. viluiensis* Krimh., *P. elongata* Miller, *P. tolli* Pavl. *achybelus faceta* Sachs, sp. nov. и др. Мощность 2 м.

9. Глины буровато-серые, сильно выветрелые. В основании прослой в 3—10 см изкого песка с окатанными желваками фосфоритов, костями рептилий, остатками лемнитов. В верхней части местами наблюдается прослой желваков сидеритов с *Mytiloides cf. marchaensis* Petr. Мощность 0—2.5 м.

10. Глины темно-серые, слабопесчанистые, в нижней части с плоскими марказитовыми стяжениями, в верхней — с желваками сидеритовых песчаников и сидеритов. основания пески с линзами конгломерата. Галька кварца, кремнистых пород, трапп, окатанные скелетные образования ископаемых. Встречаются отдельные крупные луны траппов. В сидеритах часты *Campionectes* sp., *Modiolus numismalis* (Opp.), *rctotis similis* Vel. Мощность 4.0—5.5 м.

11. Пески мелкозернистые, косослоистые с обломками сидеритовых стяжений. мощность 3.5 м. Перекрывают описанный разрез конгломераты якутской свиты.

II. Правый берег р. Мархи, ниже устья р. Собо:

1. На песках предположительно верхнеплинсбахского возраста залегают глины, мно-серые, песчанистые в верхней части, с редкими прослойками известковых стяже-ий. Мощность 2.4 м.

2. Прослой сильно ожелезненного песка с белемнитами *Brachybelus* sp., *Passa-teuthis argilarum* Lang., *Acrocoelites graciliformis* Kolb. Мощность 0.1 м.

3. Глина серая, тонкослоистая, слабо песчанистая в верхней части, с прослоем известняка. Мощность 0.9 м.

4. Глины песчанистые, пеяснослоистые. Мощность 0.5 м.

5. Глины тонкослоистые, иногда листоватые, с прослойками лепешкообразных стяжений, содержащих остатки раков и редкие *Acrocoelites ex gr. curtus* (d'Orb.). мощность 2.6 м.

6. Глины песчанистые с несколькими прослойками глинистых известняков с *Leda cuminata* (Goldf.). Мощность 2.1 м.

7. Сильно песчанистые глины, ожелезненные, ржавые, с большим количеством елких округлых стяжений. Редки белемниты плохой сохранности и пелециподы *Leiurotua cf. oleneki* Lah. Мощность 1.4 м.

8. Глины тонкослоистые, светло-серые с прослойем известняка до 40 см в верхней части. В основании слоя процласток в 5—10 см крупного песка с отдельными гравийными зернами. Мощность 0.5—4.5 м.

9. Сильно алевритистая глина, выветрелая, бурого цвета, с редкими, очень рупными стяжениями серого известняка. В слое часты линзы ракушняка, в основном из раковин *Leda acuminata* (Goldf.), *Modiolus marchaensis* Khud., крупные куски древесины, обросшие устрицами. Многочисленны белемниты *Acrocoelites curtus* (d'Orb.), *'assaloteuthis viluensis* Krimh., *Brachybelus faceta* Sachs, sp. nov., *B. kirinæ* Sachs, sp. nov., *Nannobelus pavlovi* Krimh., *N. hangoensis* Sachs, sp. nov. и другие и аммониты *Dactylioceras* sp., *Omolonoceras proprius* sp. nov., приуроченные в основном к средней части слоя. Мощность 0—4.5 м.

10. Глины серые, слоистые, в верхней части слегка алевритистые с редкими рупными овальными стяжениями серых известняков. В глинах редкие линзы ракушняков с *Mytiloides jakuticus* Petr., *Oxytoma kirinæ* Vel., sp. nov. Довольно часты белемниты *Hastites aff. fortiensis* Kolb, *Nannobelus pavlovi* Krimh., *N. hangoensis* Sachs, sp. nov., *N. (Clastoteuthis) difficilis* Voron., *N. (Clastoteuthis) parvus* Voron. и др. в основании пачки прослой песка в 3—5 см с гравийными зернами, фосфоритами, окатанными костями ихтиозавров. Мощность 6.5—8.5 м.

11. Песчаник рыхлый, мелкозернистый с несколькими прослойками очень крупных до 1.2 м в диаметре) овальных стяжений песчанистых известняков с *Phylloceras* sp., *Todiolus numismalis* Opp., *Campionectes* sp., *Mytiloides jakuticus* Petr. и др. В основании слоя прослой конгломерата 5—10 см с галькой кремнистых пород, древесиной, фосфоритами, окатанными устрицами и др. Мощность 13—14 м. Выше с размывом алаегают отложения якутской свиты.

III. Правый берег р. Мархи, около устья р. Улахан-Дюктели:

1. На песках якутской свиты (нижний лейас) с размывом и слоем конгломерата южностью 0.1—0.4 м в основании залегают глины в основном зеленовато-серые, реже коричневые с рядом прослоев желваков мергелей с *Leda acuminata* (Goldf.), *Leiurotua* и редкими белемнитами *Acrocoelites* sp. В глинах, а также в одном из слоев стяжений (2.5 м от подошвы пачки) встречаются сложения раковин *Osperleioceras vienense* Krimh. Мощность 11—12 м.

2. Пески мелкозернистые, серые, сильно ожелезненные на поверхности, в нижней части глинистые, с редкими стяжениями песчанистых известняков. Мощность 10.5 м.

3. Глины темно-серые, сильно песчанистые с *Brachybelus faceta* Sachs, sp. nov. и аммонитами плохой сохранности (*Dactylioceras* sp.). Мощность 2.5 м.

Перекрываются глины четвертичными речными отложениями.

IV. Левый берег р. Мархи в 0.5 км выше устья р. Сапый-Аллах:

1. Глины серые, очень тонкослоистые, с белемнитами плохой сохранности. Мощность 2 м.
2. Глины песчанистые без известковых стяжений. Мощность 4.5 м.
3. Пески слабо глинистые, серые, ожелезненные на поверхности. Мощность 0.5 м.
4. Прослой линз песчанистых известняков с *Leda acuminata* (Goldf.), *Mytiloides* sp. и другими пелециподами, редкими белемнитами и аммонитами (*Dactylioceras cf. commune* Sow.). Мощность 0.2—1.3 м.
5. Пески ржавые, глинистые, переходящие вверх по разрезу в песчанистые глины темно-серого цвета. Части стяжения с мелкими пелециподами. В глинах встречаются белемниты *Brachybelus* sp., *Nannobelus* sp. и др. Мощность 1—3.5 м.
6. Глины темно-серые, с зеленоватым оттенком, иногда слабо песчанистые с крупными овальными стяжениями серых известняков, содержащих *Melegrinella marchaeensis* Petr., *Leda acuminata* (Goldf.), *Oxytoma* sp., *Ostrea* sp. Т. И. Кирина из этого слоя указывает *Pseudolioceras* sp. Мощность 5—6 м.
7. Пески с линзами известковых песчаников и сидеритов с *Melegrinella marchaeensis* Petr. и другими пелециподами. Мощность 12—13 м. Выше залегают пески якутской свиты.

V. Левый берег р. Мархи, выше устья р. Лохай:

1. Глины темно-серые с зеленоватым оттенком с большим количеством овальных и шаровых крупных (в среднем 30—60 м в диаметре) стяжений. Многие стяжения переполнены мятами *Mytiloides cf. marchaeensis* Petr. Очень часты линзы с крупными *Oxytoma kirinae* и *Ostrea* sp. (последние часто прикрепляются к крупным кускам древесины). Многочисленны белемниты *Nannobelus pavlovi* Krimh., *N. horgoensis* Sachs, sp. nov., *N. (Clastoteuthis) parvus* Voron., *N. (Clastoteuthis) difficilis* Voron., *Hastites subclovatus* Voltz, *H. ex gr. bergensis* Kolb, *H. aff. neumarktensis* Oppel. В верхней части слоя встречен неполный экземпляр *Pseudolioceras cf. alienum* A. Dagis, sp. nov. и *P. sp.* sp. Мощность 4 м.
2. Прослой темно-серого, слегка песчанистого известняка с многочисленными пелециподами и белемнитами (*Mesoteuthis subrostriformis* Voron.). Из этого слоя происходят *Pseudolioceras alienum* A. Dagis., sp. nov. Мощность 0.5—1.1 м.
3. Прослой глин, слегка песчанистых до 30 см мощностью. Толщина прослоя зависит от степени развития нижележащего слоя известняков, имеющего непостоянную мощность.
4. Песчаник ржавый, рыхлый, сильно глинистый, сильно буреющий при выветривании. В основании слоя встречается рассеянная галька кварца, кремнистых пород и фосфоритов. В толще много песчанистых и сидеритовых стяжений с крупными *Campstonectes* sp., *Mytiloides jakuticus* Petr., *Melegrinella marchaeensis* Petr., *Modiolus numismalis* Opp. и другими пелециподами. Мощность 7.5 м.

Выше с размывом лежат пески якутской свиты.

Изученные разрезы позволяют выделить в тоарских отложениях Виллюйской впадины три горизонта, характеризующихся разными комплексами аммонитов, а также другой фауной беспозвоночных.

1. Горизонт с *Osperleioceras viluiense* Krimh. Глины серые, иногда алевритистые, с прослойками и стяжениями серых известняков. В отдельных обнажениях, приуроченных к окраинным частям бассейна, в верхней части появляются прослои песчаных глин и песков (разрезы I, II). К этому горизонту следует отнести слои 1—6 разреза I, слои 1—8 разреза II, слой 1 разрезов III и IV. Fauna: *Osperleioceras viluiense* Krimh., *Harpoceras* sp., *Acrocoelites dillbergensis* Kolb, *A. graciliformis* Kolb, *Passaloteuthis apicicurvata* (Blainv.), *P. inaudita* Voron., *P. subinaudita* Voron., *P. viluiensis* Krimh., *Leda acuminata* (Goldf.), *Tancredia stubendorffi* Schm. и др. Из этого горизонта, насколько можно судить по разрезам З. В. Кошелкиной, происходит и форма, определенная как *Paltarrites argutus* Buckm., переопределенная М. С. Месежниковым как *Harpoceras ex gr. exaratum* Young et Bird.

2. Горизонт с *Dactylioceras commune* Sow. Песчанистые и алевритистые глины, мелкозернистые пески, реже чистые глины, с большим количеством известковых и сидеритовых стяжений и линзами ракушняков. К этому горизонту относятся слои 7—8 разреза I, слой 9 разреза II, слои 2—3 разреза III, слои 2—4 разреза IV. В разных разрезах

встречены *Dactylioceras suntarens* Krimh., *D. commune* Sow., *Dactylioceras* sp., *Omolonoceras proprium* A. Dagis. В аналогах этого горизонта на р. Тюнг известен *Dactylioceras athleticum* Simps. Многочисленны в этом горизонте белемниты *Passaloteuthis viluiensis* Krimh., *P. subinaudita* Voron., *P. elongata* Mill., *Brachybelus faceta* Sachs, sp. nov., *B. kirinae* Sachs, sp. nov., *Nannobelus pavlovi* Krimh., *Acrocoelites curtus* (d'Orb.) и другие и пелециподы *Mytiloides marchaensis* Petr., *Leda acuminata* (Goldf.), *Tancredia stubendorffi* Schm., *Modiolus marchaensis* Khud. и др.

3. Горизонт с *Pseudolioceras alienum* A. Dagis, sp. nov. Глины темно-серые, иногда алевритистые с крупными овальными и шаровыми стяжениями серых известняков. К этому горизонту относится слой 9 разреза I, слой 10 разреза II, слой 5 разреза IV и слои 1—3 разреза V. Кроме *Pseudolioceras alienum* A. Dagis, sp. nov., встречаются редкие *Pseudolioceras* sp. Очень характерен комплекс белемнитов — *Hastites* aff. *forthensis* Kolb, *H. subclavatus* Voltz, *H. ex gr. bergensis* Kolb, *H. aff. neu-marktensis* Oppel, *Nannobelus pavlovi* Krimh., *N. hangoensis* Sachs, sp. nov., *N. (Clastoteuthis) parvus* Voron., *N. (Clastoteuthis) difficilis* Voron., *Mesoteuthis subrostriformis* Voron. Часты линзы с крупными *Oxytoma kirinae* Vel., sp. nov. и *Ostrea* sp. В стяжениях *Mytiloides marchaensis* Petr., *Melegrinella marchaensis* Petr., *Modiolus numismalis* Opp. и др.

Перекрывается горизонт с *Pseudolioceras alienum* A. Dagis песками и песчанистыми или алевритистыми глинами с сидеритами, содержащими *Camptonectes* sp., *Arctotis similis* Vel., *Mytiloides marchaensis* Petr. и др. К этому горизонту относятся слои 10—11 разреза I, слой 11 разреза II, слой 7 разреза IV, слой 4 разреза V.

Нижние два горизонта, как уже отмечалось ранее, были выделены Г. Я. Крымольцем и Н. Н. Тазихиным (1957, 1963) на р. Вилюе, а затем были прослежены в разных районах Вилюйской впадины Т. И. Кириной (1964, 1966). Граница между этими горизонтами не четка и ввиду редкости находок аммонитов в конкретных разрезах проводится условно. Пелециподы практически не отличаются в обоих горизонтах, белемниты так же близки, преобладают виды родов *Passaloteuthis*, *Mesoteuthis* и *Acrocoelites*, хотя в горизонте с *Dactylioceras* появляются представители родов *Nannobelus* и *Brachybelus*, не известные в нижележащих слоях.

Горизонт с *Pseudolioceras alienum* A. Dagis, sp. nov. соответствует слоям с *Pseudolioceras* тоарского яруса и нижней части ааленского яруса схемы Т. И. Кириной (1964, 1966). Во всех изученных разрезах этот горизонт достаточно четко отделяется от подстилающих и перекрывающих отложений. Чрезвычайно характерен комплекс белемнитов, представленный разными видами родов *Hastites*, *Mesoteuthis* и *Nannobelus* (особенно характерны виды рода *Clastoteuthis*). Аммониты хорошей сохранности встречены лишь в одном разрезе (р. Марха у устья р. Лохай — разрез V), в верхней части данного горизонта (слой 2). Из этого же прослоя происходит и *Pseudolioceras m'clintocki* Haughton, описанный М. С. Месежниковым (1966), который является формой, аналогичной *Ps. alienum*. К *Ps. alienum* наиболее близки и формы, встреченные в нижележащем слое (слой I), который по схеме Т. И. Кириной отнесен к тоарскому ярусу (слои с *Pseudolioceras*).

Горизонт, перекрывающий слои с *Ps. alienum*, лишен аммонитов (за исключением *Phylloceras* sp.), а также хорошей сохранности белемнитов и охарактеризован в основном эндемичными видами пелеципод.

Корреляция устанавливаемых в Вилюйской синеклизе в тоарском ярусе горизонтов с внутриярусными подразделениями тоарского яруса других районов Сибири и единой стратиграфической шкалы может быть проведена с разной степенью достоверности, что обусловлено своеобразием аммонитов, встреченных в этом районе (табл. 1).

Таблица 1

Полъ- я други	Северо-Западная Европа		Северо-Восток СССР	Вильйская впадина
	Зоны	Подзоны		
Bepxinn		<i>Pleydellia aalensis</i>		
		<i>Dumortieria moorei</i>		
		<i>Dumortieria levesquei</i>		
Grammoceras thouarsense		<i>Pseudogrammoceras struckmani</i>		
		<i>Grammoceras striatum</i>		
Haugia variabilis			<i>Pseudolioceras rosenkranzii</i>	
			<i>Pseudolioceras compactile</i>	
Cpejchin		<i>Zugodactylites brauniensis</i>	<i>Zugodactylites brauniensis</i>	<i>Pseudolioceras alienum</i>
		<i>Hildoceras bifrons</i>	<i>Peronoceras fibulatum</i>	
			<i>Dactylioceras commune</i>	<i>Dactylioceras commune</i>
Hinkchin		<i>Harpoceras falcifer</i>	<i>Harpoceras falcifer</i>	<i>Ostrelioceras viluiense</i>
		<i>Harpoceras exaratum</i>		
				<i>Ovaticeras propinquum</i>
		<i>Dactylioceras tenuicostatum</i>		

Нижний горизонт, как это было предложено на совещании по стратиграфии мезозойских отложений Средней Сибири в г. Новосибирске в 1964 г., в связи с присутствием в нем наряду с эндемичным *Osperleioceras viluiense* Krimh. видов рода *Harpoceras*, в том числе и *Harpoceras ex gr. exaratum* Young et Bird, может быть отнесен к нижнему тоару и сопоставлен с зоной *Harpoceras falcifer* единой шкалы. Однако подобное сопоставление нельзя считать окончательным и твердо доказанным. Дело в том, что на Канадском архипелаге и в Скалистых горах Канады Фреболд (Frebold, 1957, 1960) указывает *Harpoceras cf. exaratum* Young et Bird совместно с *Dactylioceras commune* (Sow.) и *D. aff. commune* (Sow.). *Harpoceras*-образные формы известны также из нижней части зоны *Dactylioceras commune* на Северо-Востоке СССР (Дагис, Дагис, 1965). По-видимому только в результате монографического изучения *Harpoceratinae* Сибири возможно окончательное решение вопроса о возрасте слоев с *Osperleioceras viluiense*.

Горизонт с *Dactylioceras commune* (Sow.) благодаря большому комплексу аммонитов может быть уверенно отнесен к среднему тоару и сопоставлен с зоной *Dactylioceras commune* Северо-Востока СССР, которая в свою очередь соответствует подзоне *Peronoceras fibulatum* зоны *Hildoceras bifrons* шкалы Северо-Западной Европы. Аналоги этой зоны известны на левобережье нижнего течения р. Лены (Тест и др., 1962, Биджиев, Минаева, 1961), на западном склоне Верхоянского хребта (Панов, 1960, Сакс и др., 1963), в Восточном Верхоянье (Домохотов, 1961). Широко распространены эти отложения и в Арктической Канаде (Frebold, 1960), на Аляске (Imlay, 1955), а также, по-видимому, в Скалистых Горах Канады (Frebold, 1957).¹

Горизонт с *Pseudolioceras alienum* из аммонитов содержит единственный новый вид рода, распространенный в Сибири, начиная с верхней части среднего тоара (зона *Zugodactylites braunianus*) по аален включительно. Этот вид был обнаружен на Северо-Востоке СССР (Омолонский массив) совместно с большим комплексом аммонитов, характерных для зоны *Zugodactylites braunianus* [*Zugodactylites braunianus* (d'Orb.), *Z. matratus* A. Dagis, sp. n., *Pseudolioceras lythense* Young et Bird и др.], что дает возможность предполагать среднетоарский возраст горизонта с *Pseudolioceras alienum* Вилуйской впадины. Дополнительные данные для решения вопроса о возрасте рассматриваемого горизонта дает комплекс белемнитов, встреченный в этой толще, который довольно широко распространен в тоарских отложениях Сибири. Наибольшего внимания в этом отношении заслуживают разрезы района Анабарской губы, где очень сходный комплекс белемнитов [*Nannobelus pavlovi* Krimh., *N. (Clastoteuthis) difficilis* Voron., *N. (Clastoteuthis) parvus* Voron. и др. (см. настоящий сборник, статья В. А. Басова и др.)] встречается совместно с *Pseudolioceras* sp. и *Zugodactylites ex gr. braunianus* (d'Orb.), т. е. формами, характерными для зоны *Zugodactylites braunianus* Северо-Востока СССР. В связи с вышеописанными фактами есть все основания относить горизонт с *Pseudolioceras alienum* к среднетоарским отложениям. Более того, наиболее вероятным аналогом этого горизонта следует считать зону *Zugodactylites braunianus*, завершающую разрез среднего тоара на Северо-Востоке СССР.

¹ Т. И. Кириной из этого же горизонта указывается *Dactylioceras mucronatum* (d'Orb.) (= *Collina mucronata*), которая является очень характерной формой для нижней части верхнетоарских отложений Северо-Востока СССР и имеет аналогичное распространение в Западной Европе. По-видимому, этот вид определен неправильно. На р. Мархе, в разрезе у р. Сапый-Аллах, откуда М. И. Плотниковой был доставлен данный аммонит, нами встречены *Dactylioceras cf. commune* Sow.

Верхний горизонт морских отложений с *Camptonectes* sp., *Arctotis similis* Vel. и другими эндемичными пелециподами скорее также может быть отнесен к тоарскому ярусу. Во всяком случае в настоящее время нет никаких достоверных фаунистических данных, которые могли бы подтвердить среднеюрский возраст этого горизонта. *Arctotis lenaensis* (Lah.), указывающийся по сборам М. И. Плотниковой на р. Мархе (устье р. Бэс-Юрэх), по данным Т. И. Кириной (1966), определен неверно (= *Oxytoma* sp.) и происходит из более низких горизонтов. Этот же вид, указывавшийся С. С. Кузнецовым в бассейне р. Тюнг, Т. И. Кириной приводится в средней части якутской свиты. В целом, мы склонны присоединиться к мнению Г. Я. Крымгольца, что «принадлежность какой-то части белемнито-ледовых слоев к аалену маловероятна» (Крымгольц, 1963).

Ниже приводится описание некоторых видов аммонитов тоарских отложений Вилуйской впадины, выполненное А. А. Дагис. С Северо-Востока СССР описан типовой вид рода *Omolonoceras* и отчасти *O. proprium* A. Dabis, который в Вилуйской впадине представлен только молодыми экземплярами. Материал с Северо-Востока использован также при описании *Dactylioceras commune* (Sow.) и *Pseudolioceras alienum* sp. nov.

ОТРЯД АММОНИТИДА

Семейство *DACTYLIOCERATIDAE* Hyatt, 1867

Род *Omolonoceras* A. Dabis, gen. nov.¹

Типовой вид. *Omolonoceras manifestum* sp. nov. Тоарский ярус Северо-Востока СССР.

Описание. Раковины небольшие, эволютные, кадиконической формы. Боковые стороны не широкие, выпуклые. Переход их в наружную сторону отчетливый. Наружная сторона широкая, слегка выпуклая. Пупок широкий, средней глубины. Поперечное сечение оборотов попечечно-овальное. На боковых сторонах ребра простые, радиальные. Каждое ребро боковой стороны оканчивается шипом. От шипа на наружную сторону отходят, как правило, два, а иногда и три ребра. Шипы расположены на границе перехода боковых сторон в наружную. На наружной стороне ребра частые, острые, высокие. Лопастная линия состоит из пяти основных лопастей. Центральная лопасть разделена на две ветви средним, высоким, узким седлом. Боковая лопасть трехраздельная. Умбональная лопасть короче боковой почти в два раза, двураздельная. Внутренняя боковая лопасть двураздельная. Дорсальная лопасть глубокая, разделенная невысоким срединным седлом. Седла сильно рассеченные.

Видовой состав. *Omolonoceras manifestum* sp. nov., *Omolonoceras proprium* sp. nov.

Сравнение и общие замечания. Наиболее близким родом к описываемому является род *Crassicoeloceras*, установленный Бакменом в 1918 г. Сравниваемые роды близки по форме раковины и характеру ребристости. Однако наш род отличается наличием регулярных шипов на каждом ребре. Для рода *Crassicoeloceras* характерно либо отсутствие шипов, либо их нерегулярное присутствие. По форме раковины описываемый род близок к родам *Spinicoeloceras* Buckman, 1928 и *Noedicoeloceras* Buckman, 1913, от которых он отличается отсутствием фибуляции ребер. Род *Omolonoceras* gen. nov. по характеру скульптуры похож на *Zugodactylites* Buckman (1926), но отличается формой раковины, ши-

¹ *Omolonoceras* — назван в связи со своим происхождением с Омлонского массива.

рина оборотов которой превышает их высоту почти в два раза, в то время как у *Zugodactylites* она или меньше, или равна высоте оборотов. Кроме того, описываемый род имеет отличную лопастную линию — менее рассеченную с узким наружным седлом; боковая лопасть короче и слабее изрезана, пупковое седло шире и отлично по своему строению. Дорсальная лопасть короче. Род *Omolonoceras* отличается от рода *Catacoeloceras* Buckman (1923) более кадиконической формой раковины, узкими и более выпуклыми боковыми сторонами, уплощенной широкой наружной стороной, более частыми и значительно более тонкими ребрами.

Геологический возраст и географическое распределение. Среднетоарские отложения Северо-Востока СССР (Омолонский массив, Вилуйская впадина).

*Omolonoceras manifestum*¹ A. Dagis, sp. nov.

Табл. I, фиг. 4, 5

Голотип хранится в Музее Института геологии и геофизики СО АН СССР. Экз. № 312-1. Средний тоар Северо-Востока СССР (Омолонский массив), р. Токур-Юрях.

Диагноз. Ребра боковой стороны не частые, широкие, радиальные, на последний целый оборот при диаметре 18 мм приходится 26 ребер. Шипы сильные. Ребра наружной стороны слегка дугообразно изогнуты вперед.

Форма. Раковины средних размеров, кадиконической формы. Обороты слабообъемлющие. Боковые стороны узкие, выпуклые. Переход их в наружную сторону отчетливый. Наружная сторона широкая, слегка округлая, слабовыпуклая. Пупок широкий, глубокий. Поперечное сечение поперечно-овальное. Ширина оборотов почти в два раза превышает их высоту. Среднее отношение высоты оборотов к диаметру равно 32, изменяется от 28 до 36. Отношение ширины оборотов к диаметру составляет в среднем 53, варьируя в пределах от 50 до 57. Диаметр пупка по отношению к диаметру раковины в среднем составляет 49, изменяясь от 47 до 50. Среднее отношение высоты оборотов к их ширине равно 58.

Экземпляры	<i>D</i> ²	<i>B</i>	<i>Ш</i>	<i>Dу</i>	<i>B : D</i>	<i>Ш : D</i>	<i>Dу : D</i>	<i>B : Ш</i>	<i>K. n</i>
312-1	18	5	9	9	28	50	50	55	2
312-1		7	15					47	
312-2	14	5	8	7	36	57	50	62,5	2
312-2		7	11					66	
312-3	15	5	8	7	33	53	47	62,5	2,1

Структура. На боковых сторонах ребра простые, радиальные, высокие, сравнительно широкие, не частые. Каждое ребро боковой стороны оканчивается шипом. Шипы, как правило, плохо сохраняются в ископаемом состоянии и от них остаются только их массивные основания. При переходе на наружную сторону ребра бифуркируют, т. е. разветвляются. В основном от шипа на наружную сторону отходит два ребра, но изредка наблюдается и три отходящих ребра. Ребра на на-

¹ *manifestum* (лат.) — явное, очевидное, показывающее несомненные признаки.

² *D* — диаметр, *B* — высота, *Ш* — ширина, *Dу* — диаметр пупка, *K. n* — коэффициент пупка, *K. p* — количество ребер последнего оборота.

ружной стороне частые, узкие, острые, высокие. До диаметра около 15 мм ребристость наружной стороны плохо выражена.

Лопастная линия зарисована с экземпляра № 312-4 при ширине оборота, равной 14 мм, а высоте 9 мм (рис. 1). Центральная лопасть глубокая, разделенная срединным, высоким, очень узким седлом. Высота седла составляет приблизительно половину глубины лопасти. Наружное седло высокое, узкое, рассечено тремя дополнительными лопастями. Боковая лопасть такой же глубины, что и центральная, трехраздельная, слабо изрезанная. Боковое седло чуть ниже наружного, разделено вторичной лопастью на две части. Первая умбональная лопасть почти в два раза короче боковой, слабо рассеченная, трехраздельная. Вторая и третья умбональные лопасти такой же длины, что и первая, узкие, не изрезанные, разделенные такими же узкими, простыми седлами.

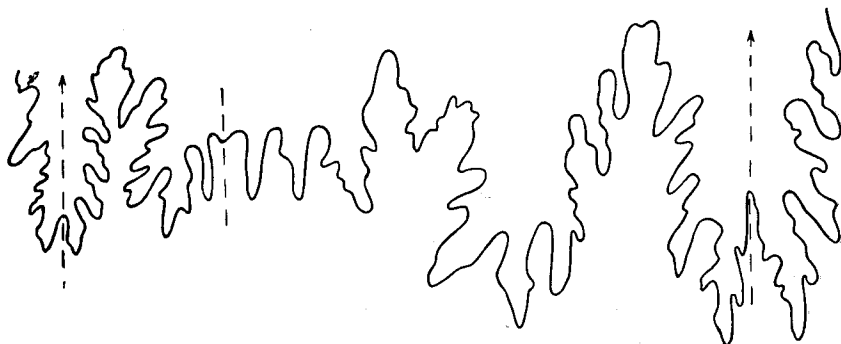


Рис. 1. *Omolonoceras manifestum* sp. nov. Лопастная линия при $D=14$ мм, № 312-1. Северо-Восток СССР, Омолонский массив, р. Токур-Юрях. Средний тоар ($\times 12$).

Умбональное седло разделено срединной неглубокой лопастью. Первая внутренняя боковая лопасть двухраздельная, рассеченная. Вторая внутренняя боковая лопасть узкая, не рассеченная. Дорсальная лопасть глубокая, рассеченная невысоким срединным седлом.

Сравнение. К описываемому виду очень близок вид *Omolonoceras proprium* sp. nov. Рассматриваемый вид отличается значительно более грубыми и редкими ребрами. При диаметре раковины около 14 мм на последнем обороте у *O. manifestum* 20 ребер на боковой стороне, а у *O. proprium* — 28 ребер. У *O. manifestum* шипы были более сильными, о чем свидетельствуют более массивные их основания. Ребра наружной стороны имеют небольшой дугообразный изгиб вперед.

Геологический возраст и географическое распространение. Среднетоарские отложения Северо-Востока СССР.

Местонахождение. Северо-Восток СССР, Омолонский массив, р. Токур-Юрях (5 экз.).

*Omolonoceras proprium*¹ A. Dagis, sp. nov.

Табл. I, фиг. 1—3, 6

Dactylioceras gracile Крымгольц, 1963, табл. I, фиг. 1а—6.

Голотип хранится в Музее Института геологии и геофизики СО АН СССР. Экз. № 312-4. Средний тоар Северо-Востока СССР, бассейн р. Л. Кедон (рч. Тенистый).

¹ *proprium* (лат.) — своеобразное, особенное.

Диагноз. Ребра на боковых сторонах тонкие, частые, оканчиваются небольшими бугорками. На внешней стороне ребра прямые.

Форма. Раковины небольших размеров, кадиконической формы. Боковые стороны узкие, выпуклые. Они постепенно поднимаются от пупочного края и наибольшей высоты достигают при переходе на наружную сторону. Переход боковых сторон в наружную выражен отчетливо. Наружная сторона широкая, округлая. Пупок широкий, сравнительно глубокий. Пупочные стенки отвесные. Поперечное сечение поперечно-ovalное. Отношение высоты оборотов к диаметру в среднем равно 30, изменяясь от 28 до 33. Среднее отношение ширины оборотов к диаметру раковины составляет 48, изменяясь от 44 до 53. Отношение диаметра пупка к диаметру раковины равно в среднем 43, варьируя в пределах от 38 до 47. Среднее отношение высоты оборотов к их ширине равно 63.

Экземпляры	Д	В	Ш	Ду	В : Д	Ш : Д	Ду : Д	В : Ш	К. н	К. р
312-4	25	7	11	11	28	44	44	63	2.2	—
312-5	15	5	8	7	33	53	47	62	2.1	25
312-6	13	4	6.5	6	30	50	46	61	2.1	28
312-7	12	4	6	5.5	33	50	46	66	2.1	28

Скульптура. На боковых сторонах ребра радиальные, простые, узкие, высокие, частые. Каждое ребро боковой стороны оканчивается бугорком, который, вероятно, служил основанием шипа. Бугорки расположены на границе перехода боковых сторон в наружную. При переходе на наружную сторону каждое ребро делится на два. На наружной стороне ребристость становится отчетливой приблизительно при диаметре раковины, равном 15 мм. Ребра на наружной стороне частые, тонкие, высокие. Наружную сторону они пересекают прямо и имеют, как правило, форму петли.

Сравнение и общие замечания. Описанный вид очень близок по форме раковине и характеру ребристости к *Omolonoceras manifestum* sp. nov., но отличается значительно более тонкими и частыми ребрами на боковых сторонах и прямыми ребрами на вентральной стороне. Г. Я. Крымгольцем из отложений тоара Вилюйской синеклизы был описан *Dactylioceras gracile* (Simpson) (см. синонимику), который существенно отличается от типа этого вида, изображенного и описанного Бакменом (Buckman, 1914, табл. 107). Эти отличия состоят в различной форме раковины и в различном характере скульптуры. Описанные Г. Я. Крымгольцем аммониты по сравнению с типом вида имеют кадиконическую форму раковины, с шириной оборотов, значительно превышающей их высоту. При диаметре раковины 21 мм отношения высоты и ширины оборотов к диаметру раковины у *D. gracile* равны соответственно 26 и 26. У экземпляров, изображенных Г. Я. Крымгольцем, при диаметре раковины 17.3 мм эти отношения равны соответственно 31 и 46. А для более взрослых экземпляров описанного вида эти показатели равны соответственно 28 и 44 ($D=25$ мм). Сравниваемые виды имеют различную скульптуру. *Dactylioceras gracile* имеет более редкие ребра, которые на вентральной стороне ведут себя по-разному. Одни из них прямо пересекают ее, другие дугообразно изогнуты вперед. У *D. gracile* пупок широкий и очень мелкий, боковые стороны широкие и уплощенные. Описанный вид имеет узкие и выпуклые боковые стороны. Экземпляры, описанные Г. Я. Крымгольцем и автором из тоарских отложений Вилюйской впадины, являются, по всей вероятности, молодыми формами описанного вида.

Геологический возраст и географическое распространение. Среднекарские отложения Северо-Востока СССР (Омлонский массив) и Вилуйской синеклизы, бассейн р. Кедон; р. Вилуй.

Местонахождение. Омлонский массив, бассейн р. Левый Кедон (2 экз.), р. Токур-Юрях (1 экз.). Бассейн р. Вилуй (2 экз. хорошей сохранности и несколько экземпляров менее удовлетворительной сохранности).

Род *Dactylioceras* Hyatt, 1867

Dactylioceras commune (Sowerby)

Табл. II, фиг. 1—7

Ammonites communis Sowerby, 1818, стр. 10, табл. CVII, фиг. 23; d'Orbigny, 1842—1849, стр. 336, табл. 108, фиг. 1—3; Reynes, 1879, табл. VIII, фиг. 10—22.

Koinodactylites communis Buckman, 1927, табл. DCCVII, фиг. 1—2.

Dactylioceras gracile Крымгольц, 1947, стр. 183, табл. XXXII, фиг. 3—4; Крымгольц, Петрова, Пчелинцев, 1953, стр. 72, табл. X, фиг. 1—16; Копелкина, 1962, стр. 50, табл. X, фиг. 1, 1а, б, с; Крымгольц, Тазихин, 1963, стр. 210, табл. 1, фиг. 2—3.

Dactylioceras cf. commune Imlay, 1955, табл. II, фиг. 4—6, 7—11.

Dactylioceras commune Dumortier, 1874, табл. 26, фиг. 1—2; Frebold, 1957, стр. 2, табл. 1, фиг. 2, 4а—d, 5а, б, 6, 7а, б; Dean, Donovan, Howarth, 1961, табл. 72, фиг. 5а, б; И. Сапунов, 1963, табл. IV, фиг. 1, 2а, б, с.

Голотип изображен у Соверби (1818, стр. 10, табл. CVII, фиг. 23).
Лейас Англии.

Форма. Раковина крупных и средних размеров, эволютная, с постепенно нарастающими в высоту оборотами. Боковые стороны слабо-выпуклые и плавно переходят в наружную сторону. Наружная сторона округлая, выпуклая. Пупок широкий, мелкий. Поперечное сечение субквадратное. Среднее отношение высоты оборотов к диаметру раковины равно 29, изменяясь от 26 до 35. Отношение ширины оборотов к диаметру раковины составляет в среднем 31, изменяясь от 24 до 35. Отношение диаметра пупка к диаметру раковины в среднем равно 49, изменяясь от 43 до 53. Среднее отношение высоты оборотов к их ширине равно 100.

Экземпляры	Д	В	Ш	Ду	В : Д	Ш : Д	Ду : Д	В : Ш	К. п
312-8	45	13	13	23	29	29	51	100	1.9
312-9	45	12	11	24	26.6	24.4	53	109	1.8
312-10	42	12	13	21	28	30	50	92	2
312-11	42	11	12	22	26	28	52	91	1.9
312-12	38	12	12.5	17.5	32	33	46	92	2
312-13	38	10	10	19	26	26	50	100	2
312-14	37	10	10	19	27	27	51	100	1.9
312-15	27	7	8	9	33	38	43	87.5	2.3
312-16	25	7	8	12	28	35	50	87.5	2
312-17	17	6	6	8	35	35	47	100	2

Скульптура. На боковых сторонах ребра простые, радиальные. Они начинаются от пупка и тянутся через всю боковую поверхность, слегка наклоняясь вперед. При переходе на внешнюю сторону каждое ребро, как правило, делится на два. В точках деления наблюдаются небольшие вздутия. Наружную сторону ребра пересекают в виде петли,

изредка имеют форму зигзага. Ребра наружной стороны частые, тонкие, высокие, слегка дугообразно изогнуты вперед. Жилая камера занимает больше оборота. Начальные обороты (первые 2—3 оборота) гладкие.

Лопастная линия зарисована при диаметре раковины 51 мм, ширине оборота 14 мм, высоте оборота 14 мм (рис. 2). Центральная лопасть глубокая, рассечена средним седлом на две ветви. Наружное седло высокое, широкое, рассечено в вершинной части двумя дополнительными лопастями. Боковая лопасть короче центральной, трехраздельная. Боковое седло невысокое, неширокое, рассеченное двумя дополнительными лопастями. Пупковая лопасть трехраздельная. Пупковое седло низкое, широкое, рассечено двумя глубокими вторичными лопастями. Внутренняя боковая лопасть разделена на две неравные ветви дополнительным

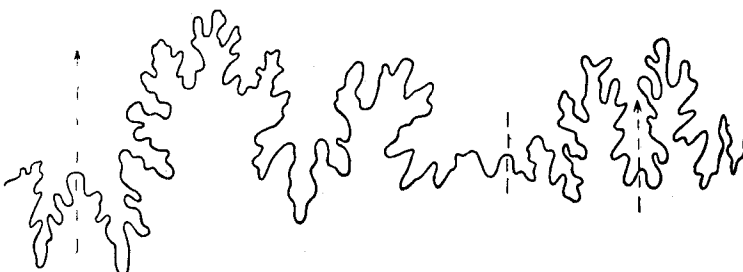


Рис. 2. *Dactylioceras commune* (Sow.). Лопастная линия при $\Pi=14$ мм, № 312-59. Северо-Восток СССР, Омолонский массив, бассейн р. Левый Кедон (рч. Бродный). Средний тоар ($\times 12$).

тальным вторичным седлом. Внутреннее седло высокое, сильно изрезанное. Дорсальная лопасть глубокая, изрезанная, рассеченная низким средним седлом.

Сравнение и общие замечания. Экземпляры, послужившие основой при описании этого вида, очень похожи на изображения, данные Соверби (1818, табл. 107), а также на изображения, приведенные Дином, Доновеном и Говартом (1961, табл. 72, фиг. 5а, б). Описанные формы отличаются от них лишь более сильным наклоном ребер боковых сторон вперед и в среднем чуть большей толщиной оборотов, что автор относит за счет изменчивости внутри вида. По характеру скульптуры и соотношению отдельных частей раковины описанный вид идентичен *Ammonites communis*, изображеному d'Orbigny (1842—1849, табл. 108). *Koinodactylites communis* (Buckman, 1927, табл. DCCVII) отличается в общем от описанных форм лишь более уплощенными боковыми сторонами. У Имлея в работе 1955 г. под названием *D. cf. commune* показаны мелкие экземпляры, совершенно не отличающиеся от имеющихся у нас экземпляров подобных размеров. В работе Фребольда (1957, табл. I, фиг. 2, 4а—d, 5а, б, 6, 6а, б) имеется ряд хороших изображений этого вида, что дает возможность сравнить формы одной биогеографической провинции. Следует отметить, что имеющиеся экземпляры и изображения, приведенные Фребольдом, являются наиболее сходными и близкими из всех приведенных сравнений. Благодаря описанию и изображению этого вида Фребольдом можно проследить даже сходную изменчивость внутри вида. *Dactylioceras commune*, описанный Иво Сапуновым, можно сравнить с нашим самым тонким экземпляром и с *D. commune* var. b у Фребольда, от которых он отличается более низкими оборотами и более редкой ребристостью. Близким видом к описываемому является *Dactylioceras athleticum* (Buckman), от которого данный вид отличается отсут-

ствием сильного наклона ребер боковой стороны вперед. От *D. stresherense* Sapunov (Сапунов, 1963, табл. IV, фиг. 3а, б, с, д, е; табл. V, фиг. 1а, б) *D. commune* Sow. отличается более широкими и высокими оборотами, более частой ребристостью. Г. Я. Крымгольц описал из тоарских отложений Вилюйской впадины *Dactylioceras gracile* (Simpson) (см. синонимику), который имеет существенные отличия от типа этого вида, описанного и изображенного Бакменом (Buckman, 1914, табл. CVII). Основные отличия форм, описанных Г. Я. Крымгольцем как *D. gracile*, от типового вида состоят в отсутствии шипов в точках ветвления ребер при переходе на наружную сторону, в иной форме поперечного сечения, в ином характере ребристости наentralной стороне. Вместе с тем вилюйские формы имеют очень большое сходство с молодыми экземплярами *D. commune* из тоарских отложений Северо-Востока Советского Союза, с которыми мы их и сопоставляем. Описание вида составлено по материалу с Омолонского массива с учетом данных, полученных после изучения вилюйских форм.

Геологический возраст и географическое распространение. Средний тоар Западной Европы, Арктической Канады, Юга СССР, Северо-Востока СССР, Вилюйской впадины. Зона *Dactylioceras commune*.

Местонахождение. Северо-Восток СССР, Омолонский массив (50 экз.), Якутия, бассейн р. Вилюй (5 экз.).

Семейство *HILDOCERATIDAE* Hyatt, 1867

Под *PSEUDOLIOCERAS* Hyatt, 1867

*Pseudolioceras alienum*¹ A. Dagis, sp. nov.

Табл. I, фиг. 7, 8; табл. III, фиг. 2

Pseudolioceras m'clintocki Месежников, 1966, стр. 74, табл. 1, фиг. 1а—г; 2а, б.

Голотип хранится в Музее Института геологии и геофизики СО АН СССР. Экз. № 312-18. Среднетоарские отложения Вилюйской впадины, р. Вилюй.

Диагноз. Пупок широкий. Ребра начинаются от пупочного края, серпообразны. Изгиб ребер происходит на расстоянии $\frac{1}{3}$ боковой стороны от пупочного края. По обеим сторонам киля находятся хорошо выраженные площадки.

Описание. Форма. Раковина средних размеров, полуинволютная. Боковые стороны выпуклые, наибольшая ширина оборотов приходится на середину боковой стороны. Наружная сторона узкая и снабжена килем. Поперечное сечение оборота треугольно-овальное. Пупок довольно узкий.² Пупочные стенки на молодых оборотах округлые, при диаметре 35 мм отвесны. Диаметр раковины равен 35 мм, отношение высоты к диаметру составляет 51, отношение ширины к диаметру равно 28.5, а отношение диаметра пупка к диаметру раковины составляет 25.6.

Экземпляры	Д	В	Ш	Ду	В : Д	Ш : Д	Ду : Д	В : Ш	К. н	К. р
312-18	35	18	10	9	51	28.5	25.6	180	3.9	32

¹ *alienum* (лат.) — далекое, чужое, не находящееся в родстве.

² Для характеристики пупка применяется терминология, предложенная А. Е. Глазуновой (1952, стр. 91).

Скульптура. Ребра начинаются у пупочного края и тянутся до наружной стороны. Приблизительно в первой трети боковой стороны они имеют радиальное направление с легким наклоном в сторону жилой камеры, затем отклоняются назад, образуя серообразный изгиб. У наружной стороны они затухают и на киль не переходят. У пупочного края ребра слабые, не отчетливые, но постепенно по направлению к наружной стороне усиливаются. Ребра непироккие, невысокие, округлые. Межреберные промежутки по своей ширине равны ширине ребер. Киль на наружной стороне раковины узкий, заостренный.

Лопастная линия. Лопастную линию полностью воспроизвести не удалось (рис. 3). Наружная лопасть двухраздельная, узкая, слабо рассеченная узким срединным седлом. Наружное седло широкое, рассечено дополнительной лопастью на две неравные ветви. Первая боко-

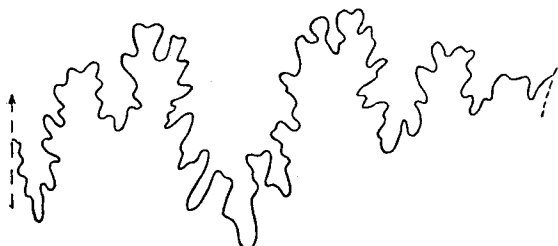


Рис. 3. *Pseudolioceras alienum* sp. nov. Лопастная линия при $W=14$ мм, № 312-18, Якутия, р. Вилуй.
Средний тоар ($\times 12$).

вая лопасть трехраздельная, глубокая. Первое боковое седло высокое, довольно сильно изрезанное. Вторая боковая лопасть почти в два раза короче первой боковой лопасти и менее рассеченная. Второе боковое седло низкое, узкое, слабо рассеченное. Третья боковая лопасть очень небольшая, трехраздельная. Третье боковое седло низкое, широкое, рассечено мелкой дополнительной лопастью на две части.

Сравнение и общие замечания. Описываемый вид морфологически близок к *Pseudolioceras m'clintocki* (Frebold, 1960, стр. 20, 21, табл. VIII, фиг. 1—9, табл. IX, фиг. 1—4), но отличается четко обособленным килем, по обеим сторонам которого находятся четко выраженные прикилевые площадки, более широким пупком — при диаметре раковины 33 мм отношение к нему диаметра пупка у *Ps. m'clintocki* равно 18 (Frebold, 1960, табл. IX, фиг. 3), в то время как у *Ps. alienum* это отношение при приблизительно таком же диаметре (35 мм) равно 25.6. Вообще у *Ps. m'clintocki* с ростом раковин отношение ширины пупка к диаметру раковин уменьшается, это видно из изображений и замеров, приводимых Фребольдом. Судя же по экземплярам *Ps. alienum*, имеющимся у нас в коллекции, он обладает противоположной тенденцией (отношение ширины пупка к диаметру увеличивается с ростом раковины). Замеры, сделанные со слепка и не приведенные в таблице, дают следующее: при диаметре раковины 37 мм рассматриваемое отношение равно 32. Наиболее близкими видами к описываемому являются среднетоарские представители рода *Pseudolioceras*: *Ps. lythense* (Buckman, 1910, табл. XIII), с которым описываемый вид сближает сходная ширина оборотов, сравнительно широкая центральная сторона, однако сравниваемые виды различаются шириной пупка и несколько иной формой ребер; от *Ps. boulbiense* (Buckman, 1909, табл. IX) *Ps. alienum* отличается более низким изгибом ребер.

Формы, описанные М. С. Месежниковым (1966, стр. 74, табл. I, фиг. 1—2) под названием *Ps. m'clintocki*, являются аналогичными описываемому виду.

Геологический возраст и географическое распространение. Среднекарские отложения Вилюйской синеклизы; Северо-Восток СССР, Омолонский массив, р. Токур-Юрях.

Местонахождение. Якутия, р. Марха, приток р. Вилюя (1 полный экземпляр и 2 отпечатка); Северо-Восток СССР, Омолонский массив, р. Токур-Юрях (12 экз.).

Pseudolioceras m'clintocki (Haughton)

Табл. III, фиг. 1

Ammonites m'clintocki Haughton, 1858, стр. 244, табл. IX, фиг. 2—4.

Ludwigia m'clintocki Frebold, 1957, стр. 7, табл. V, фиг. 3а, б, 4а, б.

Pseudolioceras m'clintocki Frebold, 1960, стр. 20, табл. VIII, фиг. 1—3, 5—9; табл. IX, фиг. 2?—4.

Pseudolioceras cf. m'clintocki Frebold, 1960, табл. XI, фиг. 2, 3.

Описание. Форма. Раковина крупная, инволютная, дисковидной формы. Обороты сильно объемлющие. Боковые стороны уплощенные. Постепенно понижаясь к наружному краю, боковые стороны сливаются в узкую заостренную наружную сторону. Поперечное сечение имеет форму вытянутого в высоту треугольника. Пупок узкий, глубокий. Пупочные стенки отвесные. Около пупка заметно слабое углубление в виде неширокой борозды. С ростом раковины связаны значительные изменения формы и отдельных частей раковины. Так, инволютность раковины возрастает с увеличением диаметра раковины. Раковины, диаметры которых меньше 40 мм, полуинволютны. При диаметре 40 мм и более раковины становятся полностью инволютными. У молодых экземпляров описываемого вида ($D=9—14$ мм) боковые стороны выпуклые, а наибольшая ширина оборота приходится приблизительно на середину боковой стороны. С ростом раковины увеличивается уплощенность боковых сторон, а наибольшая ширина оборота перемещается на $\frac{1}{3}$ высоты оборота от пупочного края. Диаметр раковины описываемого вида достигает 65 мм. Отношение высоты оборотов к диаметру составляет в среднем 50, изменяясь в пределах от 46 до 52. Отношение ширины оборотов к диаметру раковины изменяется от 20 до 33, составляя в среднем 25. Отношение диаметра пупка раковины к ее диаметру изменяется от 14 до 28, в среднем это отношение составляет 22. Отношение высоты оборотов раковины к ее ширине варьирует в пределах от 150 до 250, составляя в среднем 190.

Структура. Ребра слегка серпообразны. Они начинаются у пупочного края и тянутся до наружной стороны. У пупочного края ребра еще слабо выражены. Постепенно они усиливаются, становятся значительно шире и выше. У наружной стороны ребристость вновь ослабевает, концы ребер как бы расплываются, на киль они переходят в виде тонких слабых струек. Наружная сторона снабжена узким, довольно высоким килем. Киль не отделен от боковых сторон прикилевыми площадками. Ребра на боковых сторонах у описываемого вида появляются рано. Уже на экземплярах диаметром 9 мм они отчетливо различимы. Это тонкие, нитевидные, серпообразные ребра. Следует отметить, что у молодых экземпляров ребра сильнее изогнуты и имеют форму настоящего серпа.

Лопастная линия зарисована с экз. № 312-133 при $H=9$ мм (рис. 4). Несмотря на сравнительно большое количество экземпляров

Экземпляры	<i>Д</i>	<i>В</i>	<i>Ш</i>	<i>Ду</i>	<i>В : Д</i>	<i>Ш : Д</i>	<i>Ду : Д</i>	<i>В : Ш</i>	<i>Н. н.</i>
312-128	65	34	13	10	52	20	15	250	6.5
312-129	42	21	9	8	50	21	19	230	5.2
312-130	41	22	9	6	53	22	14	240	6.8
312-131	33	17	9	7	51.5	27	21	188	4.7
312-132	27	14	7	6	51	26	22	200	4.5
312-133	26	12	7	6	46	27	23	170	4.3
312-134	21	10	5	5	47	24	24	200	4.2
312-135	19	9	5	4.5	47	26	23	180	4.2
312-136	16	8	4	4	50	25	25	200	4
312-137	16	8	4	4	50	25	25	200	4
312-138	16	8	5	4.5	50	31	28	160	3.5
312-139	14	7	4	4	50	28	28	175	3.5
312-140	12	6	4	3	50	33	25	150	4
312-141	11	5	3	3	45	27	27	167	3.6
312-142	9	4	3	3	44	33	33	183	3

описываемого вида, имеющихся в коллекции автора, сохранность их такова, что не позволяет полностью воспроизвести лопастную линию. Вентральная лопасть глубокая, рассеченная срединным седлом. Наружное седло высокое, широкое, рассечено очень глубокой и сильно изрезанной дополнительной лопастью на две неравные ветви. Боковая лопасть такой же глубины, как и вентральная, сравнительно узкая, сильно рассе-

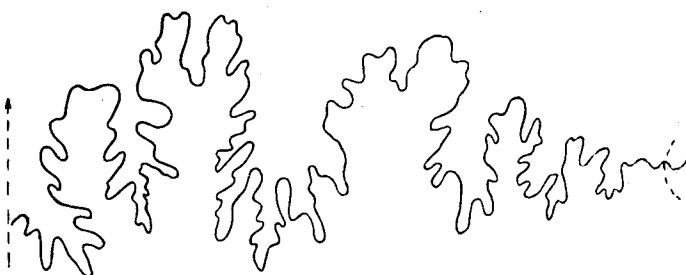


Рис. 4. *Pseudolioceras m'clintocki* (Haughton). Лопастная линия при *Ш*=9 мм, № 312-133, Северо-Восток СССР, Омлонский массив. Нижний аален.

ченная дополнительными седлами, узкими и высокими. Боковое седло чуть ниже и почти в два раза уже наружного, рассечено неглубокими вторичными лопастями. Пупковая лопасть состоит из двух хорошо обособившихся ветвей, узких, глубоких, значительно рассеченных.

Сравнение и общие замечания. Описанный вид по своим внешним признакам больше всего напоминает *Pseudolioceras rosenkrantzi* A. Dagys, от которого отличается значительно менее выраженным прикилевыми площадками и порой полным их отсутствием. Характер ребристости является основным отличительным признаком сравниваемых видов. У *Ps. rosenkrantzi* A. Dagys ребра становятся отчетливыми только с середины боковой стороны, от пупкового же края они тянутся в виде очень тонких струек, менее изогнуты и у большей части экземпляров значительно реже, шире и выше. Самым характерным признаком, отличающим описанный вид от многих других видов этого рода, является отсутствие либо слабая выраженность прикилевых площадок, а также значительно большая уплощенность боковых сторон. Э. Вестерманн (1960)

описал из аалена Аляски (байос в понимании Вестерманна) *Pseudolioceras m'clintocki whiteavesi* (White), считая последний и *Ps. m'clintocki* (Haughton), описанный Фребольдом, «хронологическими и (или?) географическими подвидами». Автор считает, что признаки, приводимые Вестерманном как отличительные от *Ps. m'clintocki* вполне могут служить видовыми признаками. Описанный вид отличается от *Ps. m'clintocki whiteavesi* слабо выраженным либо полностью отсутствующим приумбональным гребнем, значительно менее изогнутыми ребрами, более узкой наружной вентральной стороной. Близким видом к описанному по своим внешним признакам является *Pseudolioceras lythense* Young et Bird. Однако имеющиеся между ними различия позволяют отчетливо обособить сравниваемые виды. *Pseudolioceras m'clintocki* имеет значительно меньшую ширину оборотов, более широкий пупок и, как было отмечено выше, почти не имеет прикилевых площадок.

Рассматриваемый вид морфологически близок *Ps. alienum* sp. nov. Однако по сравнению с последним отличается отсутствием прикилевых площадок, более узкими оборотами, узким пупком, наличием припупочного углубления.

Геологический возраст и географическое распространение. Нижнеааленские отложения Арктической Канады, Северо-Востока СССР (Омолонский массив).

Местонахождение. Северо-Восток СССР, Омолонский массив.

ЛИТЕРАТУРА

- Биджиев Р. А., Минаева Ю. И. Стратиграфия юрских отложений Приверхоянского краевого прогиба. Геология и геофизика, № 11, 1961.
Глазунова А. Е. Новые и малоизвестные верхнеальбские аммониты Горной Туркмении. В сб. «Палеонтология и стратиграфия». Тр. ВСЕГЕИ, 1952.
Дагис А. А., Дагис А. С. О зональном расчленении тоарских отложений на Северо-Востоке СССР. В сб. «Стратиграфия и палеонтология мезозойских отложений севера Сибири». Изд. «Наука», 1965.
Домохотов С. В. Верхний триас и юра Восточного Верхоянья. Матер. по геол. и полезн. ископ. Северо-Востока СССР, вып. 15. Магаданская книжн. изд. Магадан, 1961.
Кирюна Т. И. К стратиграфии юрских отложений Виллюйской синеклизы. ДАН СССР, т. 158, № 1, 1964.
Кирюна Т. И. Стратиграфия нижнеюрских отложений западной части Виллюйской синеклизы. Тр. ВНИГРИ, вып. 249, 1966.
Кошелкина З. В. Новые данные по стратиграфии нижнеюрских морских отложений р. Виллюя. Изв. АН СССР, сер. геол., № 8, 1961.
Кошелкина З. В. Полевой атлас руководящих фаун юрских отложений Виллюйской синеклизы и Приверхоянского краевого прогиба. Магаданская книжн. изд., Магадан, 1962.
Кошелкина З. В. Стратиграфия и двусторчатые моллюски юрских отложений Виллюйской синеклизы и Приверхоянского прогиба. Тр. Северо-Восточного компл. научно-исслед. инст., вып. 5. Магадан, 1963.
Крымгольц Г. Я. Класс Cephalopoda. В кн. «Атлас руководящих форм ископаемых фаун СССР», т. 8. Госгеолтехиздат, 1947.
Крымгольц Г. Я. О морских юрских отложениях в бассейне Виллюя. ДАН СССР, т. 74, № 2, 1950.
Крымгольц Г. Я., Петрова Г. Т., Пчелинцева В. Ф. Стратиграфия и фауна морских мезозойских отложений Северной Сибири. Тр. Инст. геол. Арктики, т. XLV, 1953.
Крымгольц Г. Я., Тазихин Н. Н. Новые материалы к стратиграфии юрских отложений Виллюйской синеклизы. ДАН СССР, т. 116, № 1, 1957.
Крымгольц Г. Я., Тазихин Н. Н. Аммониты Сунтара и некоторые вопросы стратиграфии юрских отложений Виллюйской синеклизы. Геол. сб., 8. Тр. ВНИГРИ, вып. 220, 1963.
Кузнецов С. С. Река Тюнт и ее левобережье. Матер. Ком. по изучению Якутской республики, вып. 26, 1929.

- М е с е ж н и к о в М. С., К и р и н а Т. И. О морских ааленских отложениях в западной части Вилюйской синеклизы. Тр. ВНИГРИ, вып. 249, 1966.
- О б р у ч е в В. А. Геология Сибири, т. 3. Изд. АН СССР, 1938.
- П а н о в В. В. Стратиграфия мезозойских отложений западного склона Верхоянского хребта и междууречья Собспол-Кюндюдэй. Матер. по геол. и полезн. ископ. Якутской АССР, вып. 2. Якутское книжн. изд., 1960.
- Решение межведомственного стратиграфического совещания по разработке унифицированных стратиграфических схем Якутской АССР. Госгеотехиздат, 1963.
- Р ж о н с и ц к и й А. Г. О распространении морского донгера в Северной Сибири. Зап. Минерал. общ., сер. 2, ч. 51, 1923.
- С а к с В. Н., Р о н к и н а Э. З., Ш у ль г и н а Н. И., Б а с о в В. А., Б о н д а р е н к о Н. М. Стратиграфия юрской и меловой систем севера СССР, Изд. АН СССР, 1963.
- Т е с т Б. И., О с и п о в а З. В., С ч я ч е в В. Я. Мезозойские отложения Жиганского района. Тр. Инст. геол. Арктики, т. 131, 1962.
- B u c k m a n S. S. Yorkshire type ammonites. London, 1909—1930.
- D e a n W. T., D o n o v a n D. T., H o w a r t h M. K. The liassic ammonite zones and subzones of the north-west European province. Bull. Brit. mus. (Nat. Hist.), Geol., 4, № 10, 1961.
- D u m o r t i e r E. Etudes paléontologiques sur le dépôts jurassiques du bassin du Rhône. Paris, 1864—1874.
- F r e b o l d H. The jurassic fernie group in the Canadian Rocky Mountains and Foot-hills. Mem. Geol. surv. Canada, 287, 1957.
- F r e b o l d H. The jurassic fauna of Canadian Arctic. Lower jurassic and lowermost middle jurassic ammonites. Bull. Geol. surv. Canada, 59, 1960.
- I m l a y R. W. Characteristic jurassic molluscs from northern Alaska. U. S. Geol. surv., Prof. Paper 274-D, 1955.
- d' O r b i g n y A. Paléontologie Française, Terrains Jurassiques. Paris, 1842—1849.
- S o w e r b y J. The Mineral Conchology of Great Britain, vol. 3. London, 1818.

ОБЪЯСНЕНИЕ ТАБЛИЦ¹

ТАБЛИЦА I

- Фиг. 1.** *Omolonoceras proprium* sp. nov. Экз. № 312-4. Средний тоар; Северо-Восток СССР, бассейн р. Левый Кедон (рч. Тенистый). Голотип. 1а — вид с боковой стороны; 1б — вид с вентральной стороны.
- Фиг. 2.** *Omolonoceras proprium* sp. nov. Экз. № 312-6. Средний тоар; Якутия, р. Вилюй. 2а — вид с боковой стороны; 2б — вид с вентральной стороны; ×2.
- Фиг. 3.** *Omolonoceras proprium* sp. nov. Экз. № 312-5. Средний тоар; Северо-Восток СССР, р. Токур-Юрях. 3а — вид с боковой стороны; 3б — вид с вентральной стороны; ×2.
- Фиг. 4.** *Omolonoceras manifestum* sp. nov. Экз. № 312-13. Средний тоар; Северо-Восток СССР, р. Токур-Юрях. 4а — вид с боковой стороны; 4б — вид с вентральной стороны.
- Фиг. 5.** *Omolonoceras manifestum* sp. nov. Голотип № 312-1. Средний тоар; Северо-Восток СССР, Омоловский массив, р. Токур-Юрях. Голотип. 5а — вид с боковой стороны; 5б, 5в — вид с вентральной стороны.
- Фиг. 6.** *Omolonoceras proprium* sp. nov. Экз. № 312-5. Средний тоар; Северо-Восток СССР, Омоловский массив, р. Токур-Юрях. 6а — вид с боковой стороны; 6б — вид с вентральной стороны.
- Фиг. 7.** *Pseudodolioceras alienum* sp. nov. Слепок. Средний тоар; Якутия, р. Вилюй. 7 — вид с боковой стороны.
- Фиг. 8.** *Pseudodolioceras alienum* sp. nov. Экз. № 312-18. Голотип. Средний тоар; Якутия, р. Вилюй. 8а — вид с боковой стороны; 8б — вид с вентральной стороны.

ТАБЛИЦА II

- Фиг. 1.** *Dactylioceras commune* (Sow.). Экз. № 312-56. Средний тоар; Северо-Восток СССР, Омоловский массив, бассейн р. Левый Кедон (рч. Бродный). 1а — вид с боковой стороны; 1б — вид с вентральной стороны.
- Фиг. 2.** *Dactylioceras commune* (Sow.). Экз. № 312-57. Средний тоар; Северо-Восток СССР, бассейн р. Левый Кедон (рч. Сатурн). 2а — вид с боковой стороны; 2б — вид с вентральной стороны.

¹ Все изображения, за исключением особо оговоренных, даны в натуральную величину.

- Фиг. 3.** *Dactylioceras commune* (Sow.). Экз. № 312-11. Средний тоар; Северо-Восток СССР, бассейн р. Левый Кедон (рч. Сатурн). 3а — вид с боковой стороны; 3б — вид с вентральной стороны.
- Фиг. 4.** *Dactylioceras commune* (Sow.). Экз. № 312-15. Средний тоар; Якутия, р. Вилюй. 4а — вид с боковой стороны; 4б — вид с вентральной стороны.
- Фиг. 5.** *Dactylioceras commune* (Sow.). Экз. № 312-13. Средний тоар; Северо-Восток СССР, бассейн р. Левый Кедон (рч. Тенистый). 5а — вид с боковой стороны; 5б — вид с вентральной стороны.
- Фиг. 6.** *Dactylioceras commune* (Sow.). Экз. № 312-58. Средний тоар; Северо-Восток СССР, бассейн р. Левый Кедон (рч. Сатурн). 6а — вид с боковой стороны; 6б — вид с вентральной стороны.
- Фиг. 7.** *Dactylioceras commune* (Sow.). Экз. № 312-55. Средний тоар; Северо-Восток СССР, бассейн р. Левый Кедон (рч. Бродный). 7а — вид с боковой стороны; 7б — вид с вентральной стороны.

ТАБЛИЦА III

- Фиг. 1.** *Pseudolioceras m'clintocki* (Haughton). Экз. № 312-128. Нижний аален; Северо-Восток СССР, Омолонский массив, бассейн рек Токур-Юрях, Мунугуджак. 1а — вид с боковой стороны; 1б — вид с вентральной стороны.
- Фиг. 2.** *Pseudolioceras alienum* sp. nov. Экз. № 312—143. Средний тоар; Северо-Восток СССР, Омолонский массив, бассейн р. Токур-Юрях. 2а — вид с боковой стороны; 2б, 2в — вид с вентральной стороны.

ТАБЛИЦА I



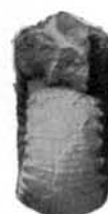
1а



1б



2а



2б



3а



3б



4а



4б



5а



5б



6а



6б



7



8а



8б

ТАБЛИЦА II



1а



1б



2а



2б



3а



3б



4а



4б



5а



5б



6а



6б



7а



7б

ТАБЛИЦА III



1а



1б



2а



2б



2в